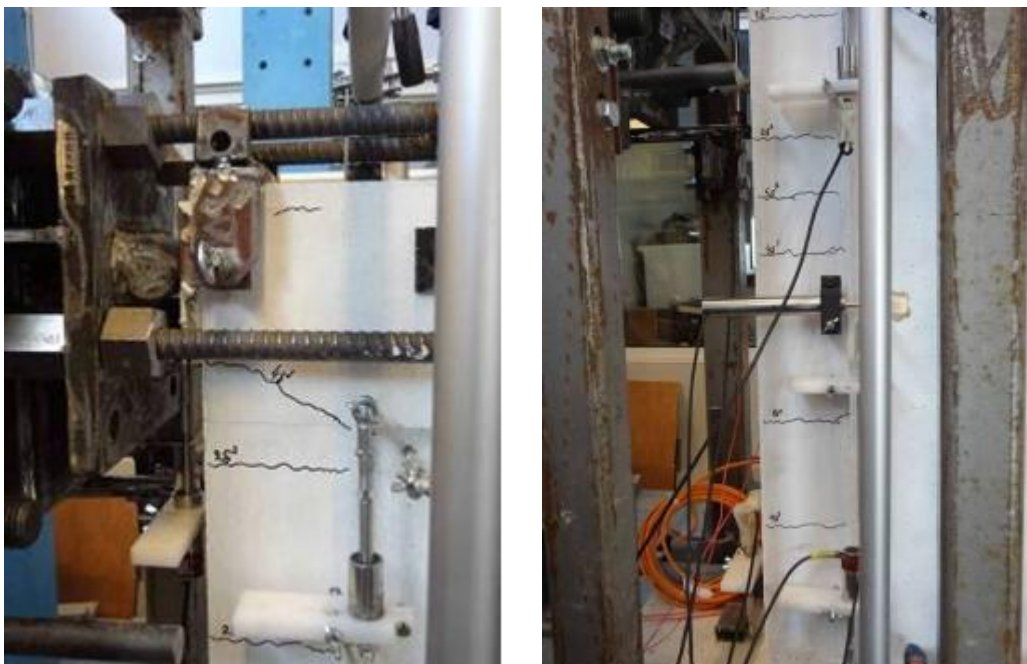


5.2.5. Ρηγμάτωση δοκιμίου A5



Σχήμα A5.1 - Ρηγμάτωση στο αριστερό υποστύλωμα και κόμβο ($\delta=0,75$ mm, $P\approx 100$ kN).



Σχήμα A5.2 - Ρηγμάτωση στο δεξιό υποστύλωμα και κόμβο ($\delta=0,75$ mm, $P\approx 100$ kN).



Σχήμα A5.3- Ολίσθηση τοιχώματος στη διεπιφάνεια με θεμελίωση
($\delta=1,05$ mm, $P\approx+120$ kN).



Σχήμα A5.4 - (α) Ρωγμή αποκόλλησης τοιχώματος στη διεπιφάνεια με θεμελίωση, (β) ρηγμάτωση στη βάση του αριστερού υποστυλώματος (οπίσθια όψη) ($\delta=1,80$ mm, $P=+145$ kN).



Σχήμα A5.5 - Αποκόλληση τοιχώματος στη διεπιφάνεια με θεμελίωση ($\delta=3,00$ mm).



(α)



(β)

Σχήμα A5.6 - (α) Αποκόλληση τοιχώματος από θεμελίωση (αριστερό άκρο), (β) Αποκόλληση τοιχώματος από το υποστύλωμα (δεξιό άκρο) ($\delta=4,50$ mm).



(α)



(β)

Σχήμα A5.7 - (α) Ρηγμάτωση βάσης αριστερού υποστυλώματος (οπίσθια όψη), (β) Αποκόλληση τοιχώματος από το υποστύλωμα (δεξιό άκρο) ($\delta=7,50$ mm).



$\delta=-9,00$ mm



$\delta=+9,00$ mm



$\delta=-15,00$ mm



$\delta=21,00$ mm

Σχήμα A5.8 - Αστοχία πόδα δεξιού υποστυλώματος.



Σχήμα A5.9 - Τελική εικόνα αστοχίας αριστερού και δεξιού υποστυλώματος δοκιμίου A5.



Σχήμα A5.10 - Τελική εικόνα αστοχίας δοκιμίου A5.

5.2.6. Ρηγμάτωση δοκιμίου A6



Σχήμα A6.1 - Δοκίμιο A6 πριν την έναρξη της δοκιμής.



$\delta=\pm 2,40 \text{ mm}$, $P=245 \text{ kN}$



$\delta=\pm 2,70 \text{ mm}$, $P=245 \text{ kN}$

Σχήμα A6.2- Ρηγμάτωση κόμβων στο δοκίμιο A6.



$\delta=\pm 3,75 \text{ mm}$, $P=280 \text{ kN}$



$\delta=\pm 10,50 \text{ mm}$, $P=150 \text{ kN}$

Σχήμα A6.3- Ρηγμάτωση δεξιού κόμβου στο δοκίμιο A6.



$\delta=\pm 12,00 \text{ mm}$, $P=150 \text{ kN}$



$\delta=\pm 12,00 \text{ mm}$, $P=145 \text{ kN}$

Σχήμα Α6.4- Ρηγμάτωση κόμβων στο δοκίμιο Α6.



(α) αριστερός κόμβος- αποκόλληση μανδύα



(β) δεξιός κόμβος- κλείσιμο ρωγμής

Σχήμα Α6.5- Ρηγμάτωση κόμβων για θετική φόρτιση ($\delta=+15,00 \text{ mm}$, $P=140 \text{ kN}$) και διεπιφάνειας τοιχώματος-υποστυλωμάτων (δοκίμιο Α6).



Σχήμα A6.6- Ρηγμάτωση στο δεξιό κόμβο του δοκιμίου A6 για $\delta=-18,00$ mm, $P=-145$ kN (αποκόλληση τοιχώματος από μανδύα).



$\delta=\pm 30,00$ mm



$\delta=\pm 30,00$ mm

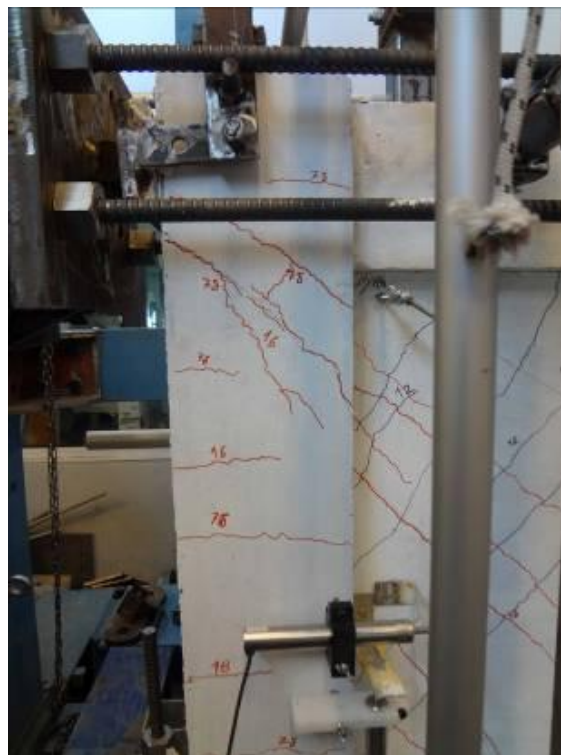
Σχήμα A6.7- Ρηγμάτωση δεξιού κόμβου στο πέρας της δοκιμής για δοκίμιο A6.

5.2.7. Ρηγμάτωση δοκιμίου A7

Παραθέτονται στη συνέχεια φωτογραφίες που δείχνουν την βαθμιαία αύξηση της ρηγμάτωσης του πλαισίου A7 και την τελική πλήρη αποδιοργάνωση του άνω άκρου των υποστυλωμάτων.



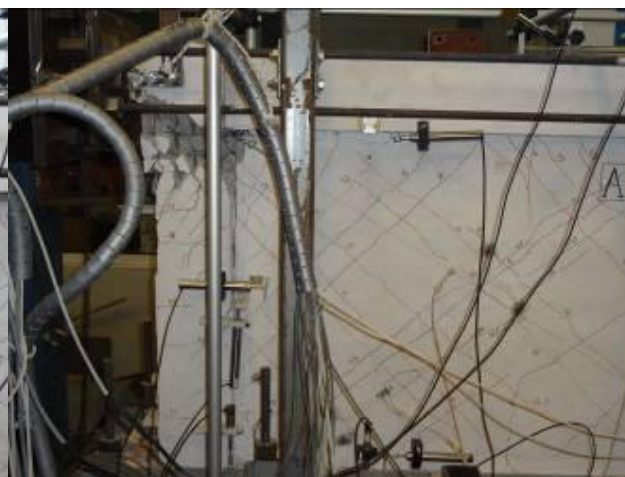
$\delta=1,8 \text{ mm}$



$\delta=2,7 \div 6,0 \text{ mm}$

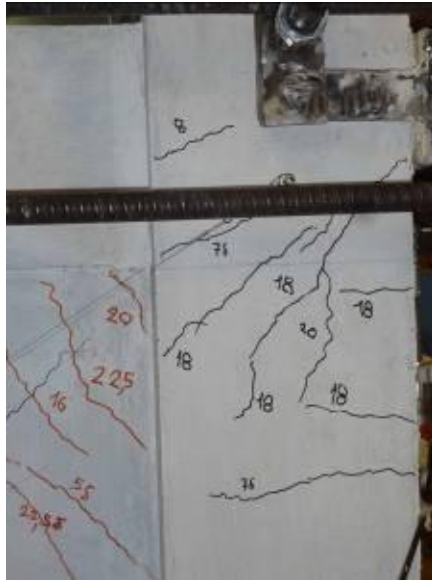


$\delta=9,0 \text{ mm}$



$\delta=21,0 \text{ mm}$

Σχήμα A7.1- Εξέλιξη ρηγμάτωσης στο αριστερό υποστύλωμα του πλαισίου για δοκίμιο A7.



$\delta=6,0 \text{ m}$



$\delta=7,5 \text{ mm}$



$\delta=9,0 \text{ mm}$



$\delta=15,0 \text{ mm}$

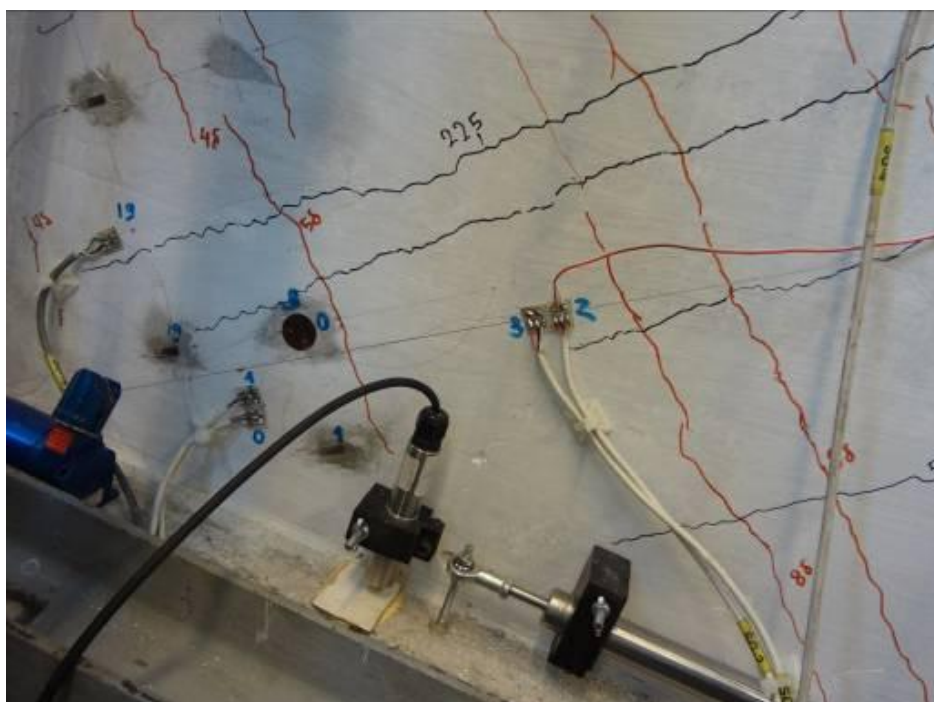


$\delta=21,0 \text{ mm}$

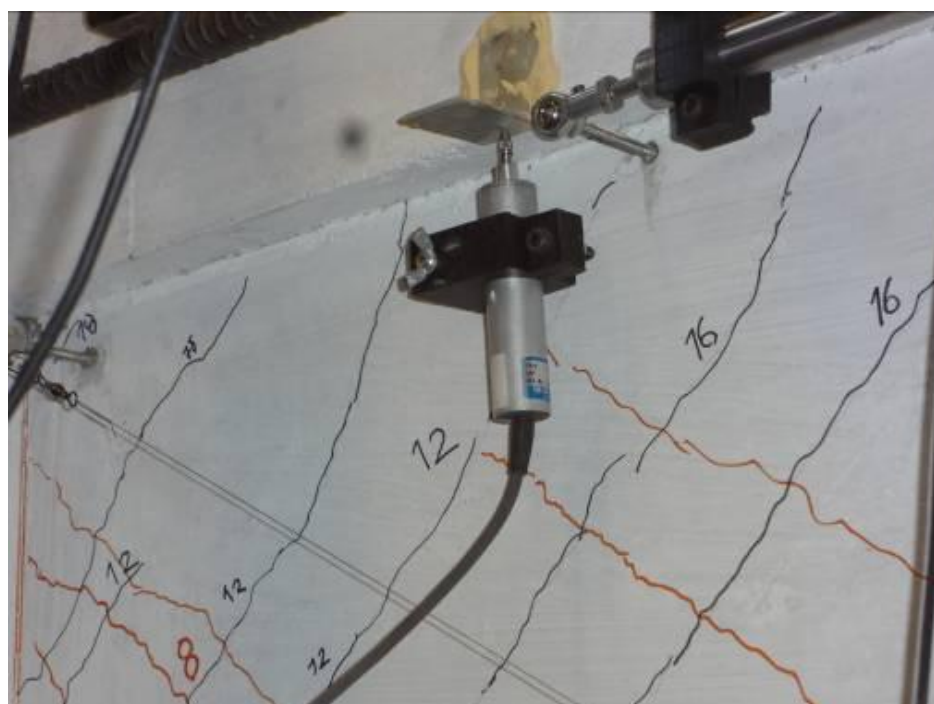


$\delta=24,0 \text{ mm}$

Σχήμα Α7.2 - Εξέλιξη ρηγμάτωσης στον δεξιό κόμβο του πλαισίου για δοκίμιο Α7.



(α)



(β)

Σχήμα Α7.3 – Οριζόντιες διεπιφάνειες τοιχώματος δοκιμίου Α7 ($\delta=6,0$ mm): (α) πρακτικά αρηγμάτωση διεπιφάνεια τοιχώματος–θεμελίωσης, (β) τριχοειδής ρηγμάτωση στη διεπιφάνεια τοιχώματος–δοκού.



(α)



(β)

Σχήμα A7.4 - Διεπιφάνεια πάνω δοκού–τοιχώματος δοκιμίου A7: (α) $\delta=9,0$ mm, (β) $\delta=21,0$ mm (θραύση βλήτρων).



(α)

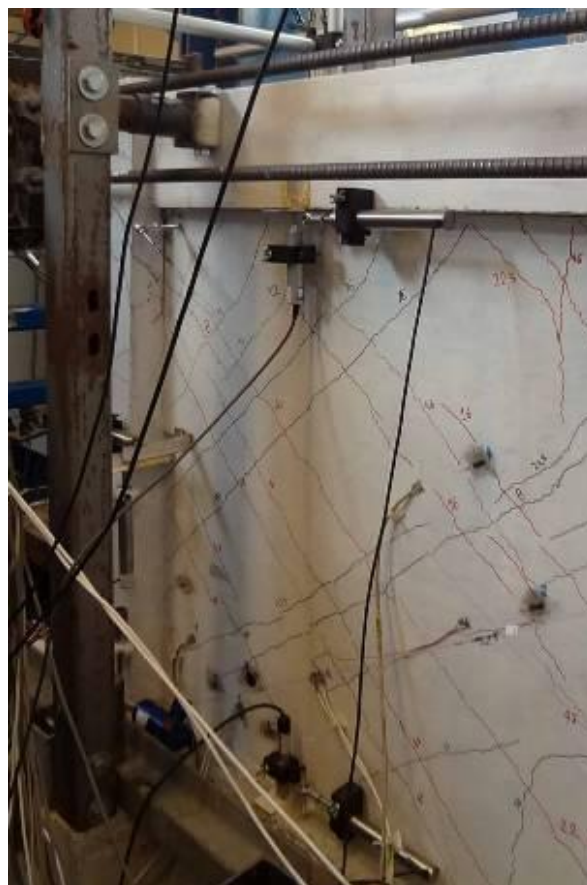


(β)

Σχήμα A7.5 - Ρηγμάτωση στο τοίχωμα δοκιμίου A7: (α) $\delta=0,60$ mm, (β) $\delta=0,75$ mm.



(α)

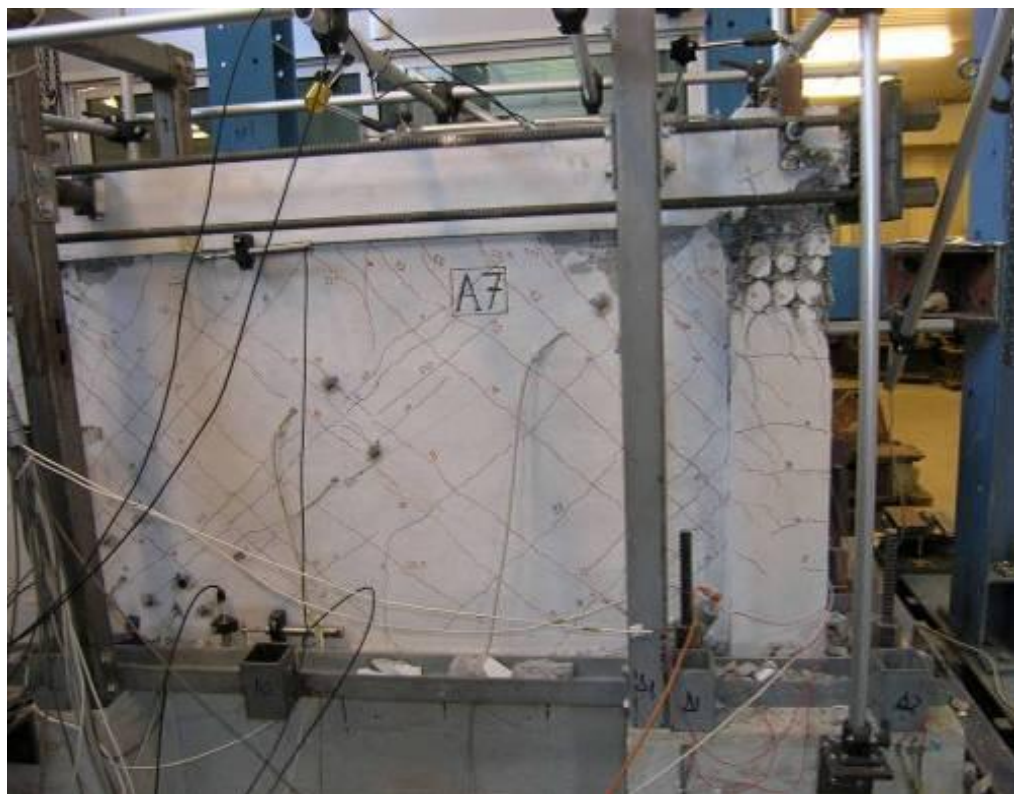


(β)

Σχήμα A7.6 - Ρηγμάτωση στο τοίχωμα δοκιμίου A7: (α) $\delta = 6,00$ mm, (β) $\delta = 7,50$ mm.



(α)



(β)

Σχήμα A7.7 - Ρηγμάτωση στο τοίχωμα δοκιμίου A7: (α) $\delta = 9,00$ mm, (β) ολοκλήρωση δοκιμής ($\delta = 21,00$ mm).